



11· ANNEX

ÍNDEX

Apartat 1. Fitxes descriptives de les espècies vegetals més representatives de la zona d'estudi

1.1-. Fitxa de l'estepa blanca (<i>Cistus albidus</i>)	5
1.2-. Fitxa de l'estepa negra (<i>Cistus monspeliensis</i>).....	6
1.3-. Fitxa del bruc boal (<i>Erica arborea</i>).....	7
1.4-. Fitxa del bruc d'escombres (<i>Erica scoparia</i>).....	8
1.5-. Fitxa del tomanyí (<i>Lavandula stoechas</i>).....	9

Apartat 2. Anàlisi fitosociològica

2.1-. Objectius.....	10
2.2-. Metodologia	10
2.3-. Resultats	10
2.4-. Conclusions.....	11

Apartat 3. Fitxa del PEG del Nus de carenes de Santa Helena.....12

Apartat 4. Clau de combustibles

4.1-. Criteris per a la selecció del combustible.....	13
4.2-. Clau de camp per la determinació dels models.....	13

Apartat 5. Resultats estadístics de les mesures fetes després de l'aplicació del tractament

5.1-. Resultats de la cobertura.....	18
5.2-. Resultats de l'abundància.....	28
5.3-. Resultats del fitovolum.....	36
5.4-. Resultats del diàmetre de la base.....	41

Apartat 6. Mapes de la zona de Cap de Creus

6.1-. Mapa geològic	46
6.2-. Mapa topogràfic.....	47 i 48
6.3-. Mapa dels PEG	49
6.3-. Mapa de la recurrència d'incendis.....	50

1· Fitxes descriptives de les principals espècies vegetals de la zona d'estudi

El paisatge vegetal de la zona correspon a la típica de la vegetació mediterrània: predomini de les espècies llenyoses amb adaptació a la sequera i de les espècies herbàcies efímeres, esclerofíl·lia, fullatge permanent, desenvolupament limitat dels arbres, òrgans aeris reduïts, espinescència, essències aromàtiques, etc. A continuació es mostra una fitxa descriptiva per a cadascuna de les 4 espècies vegetals més abundants de la nostra zona d'estudi.

1.1 L'estepa blanca

Cistus albidus

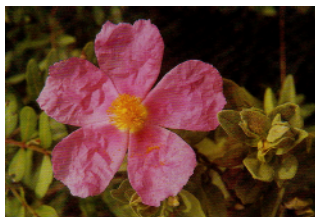
Del llatí: *albidus*=blanc (pel borrisol que presenta la planta)

Família de les cistàcies

Característiques: arbust erecte, tomentós, de tacte suau i aspecte blanquinós. Fulles enteres i oposades, sèssils, d'un color grisenc, densament peludes per les dues cares, ovades o lanceolades. Flors molt vistoses, de color rosa, grosses, de 4 a 6 cm, amb 5 pètals que semblen reblegats i nombrosos estams, a vegades solitàries però sovint reunides en raïms terminals de 2 a 4 flors. Calze amb 5 sèpals.

Floració: Abril-juny.

El fruit és una càpsula dehiscent, amb pèls, amb 5 compartiments.



Hàbitats preferents: Planta mediterrània molt comuna a la majoria de comunitats de terra baixa, preferentment sobre terreny calcari. Molt freqüent en brolles i boscos clars.



1·2 L'estepa negra

Cistus monspeliensis

Del llatí: *monspeliensis* = de Montpeller

Família de les cistàcies

Característiques: arbust erecte, que pot atènyer 1m d'alçada, flairós, ramificat i enganxós. Fulles oposades, sèssils, lanceolades, estretes, enganxoses, aspres i peludes, trinerviades, amb el marge més o menys cargolat. Flors blanques, a vegades tacades de groc, d'uns 2 a 3 cm, en raïms de 2 a 8 flors sobre un peduncle erecte, amb 5 pètals i nombrosos estams. Calze amb 5 sèpals ovalats.

Floració: Abril-juny

El fruit és una càpsula arrodonida, sense pètals o gairebé, amb 5 compartiments.



Hàbitats preferents: Planta de terra baixa, pròpia de les brolles de romaní i bruc d'hivern i d'estepes i brucs, preferentment sobre terreny silici.

1.3 El bruc boal

Erica arborea

Del llatí: *arborea*= semblant a un arbre

Família de les ericàcies



Característiques: Arbust que pot fer-se molt alt, fins a 3 m, i prendre la fesomia d'un arbre. Té les tiges erectes molt ramificades i branques d'un to blanquinós, sobretot les més joves, per la presència d'un borrisol de pèls blancs i desiguals.

Fulles d'uns 3 o 4mm de llargada, sense pèls, disposades en verticils de 3 o 4, molt estretes, amb un solc visible pel revers.

Flors blanques o una mica rosades d'uns 3 mm de llargada, en forma de gerra oberta al capdamunt, amb 4 dents, flairoses, reunides en gran nombre en panícules piramidals, tot al llarg de les branques, sostingudes per peduncles més llargs que la pròpia flor. Els 8 estams no sobresurten de la

corol·la. Calze dividit en 4 lòbuls obtusos, molt més curt que la corol·la.

Floració: Febrer-maig

Fruit en càpsula.

Hàbitats preferents: : Espècie estesa per tota l'àrea dels Països Catalans, típica de les brolles mediterrànies silícoles d'estepes i brucs. A vegades surt també a les suredes i a les brolles humides de l'estatge montà, on conviu amb la bruguerola i amb la gòdula

1.4 El bruc d'escombres

Erica scoparia

Del llatí: *scoparia*= relatiu a les escombres

Família de les ericàcies

Característiques: Arbust que pot atènyer fins a 1m d'alçària o més, de tiges i branques primes, dretes, glabres. Fulles linears, d'uns 5mm de llargada, llunts, disposades en verticils de 3 o 4, amb dos solcs visibles pel revers, glabres. Flors verdoses, molt menudes, d'1 a 3mm, disposades en raïms llargs i estrets al llarg de les tiges, sostingudes per peduncles gairebé tan llargs com les flors. Els 8 estams no sobresurten de la corol·la. Calze dividit en 4 lòbuls obtusos que arriben a la meitat del tub de la corol·la.

Floració: Maig- juliol

Fruit en càpsula glabra.

Hàbitats preferents: Viu a la brolla d'estepes i brucs de terra baixa i a la brolla de gòdua i bruguerola de la muntanya mitjana, sobre terrenys silicis i sòls humits.

També es troba a les castanyedes. La seva àrea de distribució coincideix poc més o menys amb la del bruc boal.



1.5 El tomanyí (o Cap d'ase)

Lavandula stoechas

Família de les labiades o Lamiaceae

Característiques: Mata aromàtica de fulles senceres i de color grisenc. Forma una inflorescència en forma d'espiga a la part de dalt de les branques; l'espiga té unes bràctees estèrils a la part superior de color blau, que són molt vistoses; les flors són diminutes i poc aparents, de color violeta molt fosc.

Hàbitats preferents: Aquesta planta viu generalment sobre substrats silícis. Garrigues i pinars amb sòls sense carbonats



2· Caracterització de la comunitat vegetal present als terrenys experimentals

2.1 Objectius

S'ha volgut estudiar l'estructura i funcionalitat de la comunitat vegetal present a l'àrea d'estudi i identificar-la taxonòmicament.

2.2 Metodologia

A aquest efecte s'ha emprat el mètode fitosociològic de Braun-Blanquet. S'han realitzat 4 inventaris sobre una àrea mínima de 100m² cadascun. Seguint la metodologia establerta, per cada inventari s'han anotat totes les espècies presents. A continuació, a cadascuna se li ha assignat un valor d'abundància i un valor de sociabilitat.

Els resultats obtinguts s'han comparat amb els inventaris realitzats per Franquesa en el seu extens estudi sobre el paisatge vegetal del Cap de Creus (1989) per tal de determinar la classificació taxonòmica de la nostra comunitat.

2.3 Resultats

Inventari núm	1	2	3	4
Superfície (m ²)	100	100	100	100
Exposició	N	N	N	N
Pendent (%)	5-10	5-10	5-10	5-10
Altitud	430	430	430	430
Sp Caract. Ass. Aliança i classe				
<i>Cistus monspeliensis</i>	3.3	4.4	3.3	3.3
<i>Lavandula stoechas</i>	1.2	+	1.1	1.2
<i>Calicotome spinosa</i>	+	.	.	+
Companyes principals				
<i>Brachipodium retusum</i>	4.4	3.3	4.4	4.4
<i>Cistus albidus</i>	3.3	2.2	3.3	3.3
Espècies dels Quercetea				
<i>Erica arborea</i>	+	.	+	+
<i>Daphne gnidium</i>	.	+	.	+
Altres companyes				
<i>Rubus ulmifolius</i>	+	+	.	.
<i>Ononis spinosa</i>	+	+	.	.

Identificació de la comunitat:

BROLLES SILICÍCOLES ESCLARISSADES

*Aliança Cistion ladaniferi**Associació Cisto-Sarothamnetum*Subassociació *Cistetosum monspeliensis* (Estepars d'estepa negra)**2.4 Discussió**

Els estepars d'estepa negra són una de les variants més xèriques i florísticament més pobres de les brolles silicícoles. Es tracta d'unes comunitats estacionàries que s'estabilitzen gràcies als incendis repetits. Franquesa els identifica com unes comunitats que prosperen sobre sòls secs, prims i pedregosos en llocs antigament conreats i utilitzats sovint com a pastures, la qual cosa concorda amb les característiques del terreny estudiat.

D'entre les etapes que formen part del procés de successió secundària cap a una vegetació climàtica d'alzinar, la fase d'estepar amb domini de l'estepa negra es considera la més desfavorable pel que fa a l'estabilitat del sòl (Pardini *et al.* 2004).

Així doncs, es pot concloure que la vegetació es troba en un punt crític pel que fa a la seva capacitat de regeneració després d'un incendi. En aquest sentit, aquestes comunitats necessiten una gestió adequada que els mantingui en absència de pertorbacions durant un període de temps suficient com per poder madurar i avançar en el procés successional.

3. Fitxa de la unitats de gestió de la zona d'estudi

<p>PEGS del PARC NATURAL CAP DE CREUS</p>	<p>Nus de carenes de Santa Helena</p>	<p>V_NW_2_1</p>
		
<p>SITUACIÓ Aquest espai es localitza al nus que uneix les carenes més elevades de la Serra de l'Estela, la Serra de Pau i Sant Pere de Rodes. És el un nus de carenes gestionat que es recolza amb la carretera GIP-6041 i el sender del GR-11 des de Mas Pallera fins la Serra de l'Estela i Coll del Perer. Superfície aprox: 138 ha</p>		
<p>DESCRIPCIÓ DE L'OPORTUNITAT Com a nus de carenes representa una immillorable oportunitat de poder controlar o limitar la propagació del cap de tots els focs de vent que arribin des de la part nord del massís, a part de també ser útil en focs topogràfics. La gestió de la vegetació d'aquest nus de carenes ha de permetre treballar i moure's amb certa seguretat i garanties d'eficàcia des de les infraestructures existents (carretera, camins i senders), tant per aturar el cap com per tancar els flancs abans no s'obrin amb carreres laterals. El tancament del massís per la part nord depèn de la connexió fins al PEG de la Vall de Santa Creu (V_NW_2_2), en canvi la vessant de solana no es pot tancar si no és des de Palau-saverdera o, directament al PEG de Mas Fumats (V_NW_3_2).</p>		
		
<p>Feixes abandonades sota el matollar dens que recobreix les vessants i carenes d'aquesta zona.</p>	<p>Panoràmica de la carena de la Serra de l'Estela amb els pocs espais oberts per pastures.</p>	

Figura X: Fitxa de la unitat de gestió del PEG (Punt Estratègic de Gestió) del Nus de Carenes de Santa Helena Font: Pagès, 2005

4· Els models de combustible

Definim combustible forestal com tota aquella biomassa, viva o morta capaç de cremar. El tipus de combustible present en un terreny és un dels factors importants en el condicionament del foc, el coneixement de la seva distribució espacial, i càrrega es imprescindible per modelitzar i calcular les característiques d'un incendi. Els models de combustible utilitzats son els creats per Rothermel el 1.973, als USA, i s'han adaptat per les estructures de vegetació de la Serra del Cadí.

4.1 CRITERIS PER LA SELECCIÓ DEL MODEL DE COMBUSTIBLE

Per assignar un model, es recull l'estrat que conduirà el foc, en el temps de major sequera. Uns criteris bàsics per la selecció dels models de combustible son:

Determinar la classe potencial de combustible a un nivell general: pastures, matollar, fullaraca, residus d'explotació,...

Centrar-se en l'estrat de combustible que està cremant o possiblement propagarà el foc en cas d'incendi. (algunes formacions vegetals presenten dos estrats per on pot propagar l'incendi, s'escull l'estrat que es troba disponible, i en cas de dubte s'assigna el model més perill.

4.2 CLAU DE CAMP PER LA DETERMINACIÓ DELS MODELS

El foc es propaga principalment per herbàcies

Les herbàcies tenen estructura fina, amb alçada per sota del genoll, es troba sec o quasi tot mort. L'herba es gairebé contínua.

Les herbàcies es troben sota arbrat o matollar aclarit. La fullaraca del estrat superior és important pero son les herbàcies que condueixen el foc. La velocitat de propagació esperada es mes lenta que en el model 1 i la intensitat inferior al model 3.

Les herbàcies tenen una estructura densa, amb alçada superior al genoll (prop d'un metre).

El foc propaga principalment pel matollar, o per la fullaraca de dessota del matollar.

La humitat del combustible viu pot tenir efecte significatiu en el comportament del foc.

- A.1. El matollar o regenerat d'arbrat es d'uns 2 m., amb càrrega afegida de combustible llenyós mort. S'esperen focs molt intensos amb velocitats de propagació altes.
- A.2. El matollar es d'uns 0'6 m d'alçada amb càrregues lleugeres de fulla del propi matollar per dessota. Aquesta fullaraca amb vents fluixos pot propagar el foc per sota el matollar. Els combustibles vius no presents o dispersos. La alçada mitjana del matollar es troba entre 0.6 i 1.2 m el matollar necessita vents moderats per propagar el foc. Matollars inflamables amb un estrat superior arbrat dens.

El foc propaga principalment per la fullaraca sota arbrat.

El combustible superficial es principalment fullaraca dels arbres. Els combustibles gruixuts es troben escampats per damunt de la fullaraca. Els combustibles verds son tant dispersos que no es tenen en compte.

- A.1. La fulla morta està densament compactada, i prové de coníferes de fulla curta (menys de 5 cm) o fulles de frondoses com l'alzina.
- A.2. La fullaraca està poc compactada. El combustible superficial son restes mes gruixudes, procedents d'alguna plaga o decrepitud de la massa. Les restes es troben escampades per tota la zona.

Observar el grau de compactació dels combustibles, sobretot en el cas de models de fullaraca i arbrats.

Determinar les classes de combustibles presents en general, valorar la seva influència en el comportament del foc (poden existir combustibles verds, gruixuts en descomposició, fullaraca morta a les capçades,...) Es tindran en compte els combustibles fins i disponibles, i escollir un model que representi la seva alçada, grau de compactació, la relació combustible viu/mort i la seva contribució a la propagació del foc.

En cas de tenir dos estrats molt marcats de propagació o models intermitjts, es poden combinar dos models.

El foc es propaga principalment per residus d'explotació, resultants de tallades o tractaments silvícoles.

Les restes d'explotació són velles i es troben cobertes de plantes que creixen entre mig.

- A.1. Residus de frondoses. Les fulles han caigut de les restes i son seques. Gran quantitat d'herbàcies altes assecades, crescudes entre les restes.
- A.2. Residus de coníferes. Les acícules han caigut de les branques. Gran quantitat d'herbàcies altes assecades, crescudes entre les restes. Les restes d'explotació son recents (0 a 3 anys) i no estan massa compactats
- B.1. Residus no continus . Fullaraca o petites quantitats d'herbàcies presents entre les restes, essent aquestes les que propaguin o ajudin a propagar el foc. Els combustibles vius no son significatius. Alçada dels residus d'uns 0.3m.
- B.2. Residus que cobreixen tot el terra (major càrrega que en el model 11), amb clapes de terreny sense acumulació de restes. Alçada mitja dels residus de 0.6 m, sense compactar. La meitat de les fulles poden estar encara inserides a les restes, sense assecar-se. Els combustibles vius no son presents o no es preveu que afectin el comportament del foc.
- B.3. Residus formant una coberta contínua o gairebé contínua (major càrrega que en el model 12), no massa compactades, alçada mitja restes 1 m. La meitat de les fulles poden trobar-se inserides a les restes i assecades, o totes les fulles trobar-se inserides i estant verdes. No s'espera que els combustibles verds afectin el comportament del foc.
- B.4. Igual que el punt anterior, amb la diferència de que totes les fulles inserides a les restes ja estan seques.

4.3 MODELS DE VEGETACIÓ

Model 1

La vegetació es troba constituïda per plantes herbàcies tipus pastures, fines, seques i baixes, d'una alçada general per sota del genoll (menys de 40 cm), amb una continuïtat molt alta, cobrint completament el sòl. Hi pot haver algunes plantes llenyoses disperses (arbres o matolls), però que en conjunt no superen 1/3 de la superfície considerada. Aquest model és típic de les deveses, rostolls, prats i pastures.

Quantitat de combustible: 1-2 t/ha. de matèria seca.

Comportament del foc: L'incendi és conduït per la pastura, per les plantes herbàcies.

La velocitat de propagació és molt alta. Si existeix arbrat aquest no es veu afectat per l'incendi.



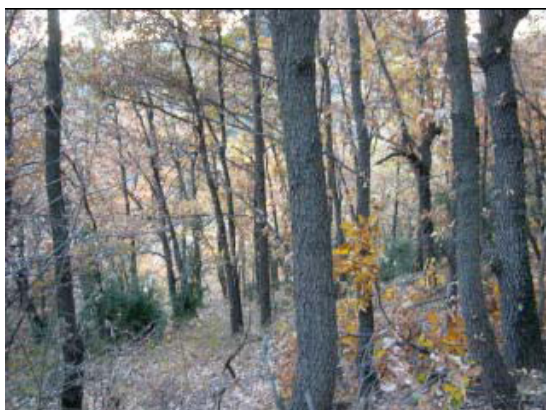
Model 8

La vegetació es troba constituïda per un bosc dens, on manca el sotabosc. Existeix una clara discontinuïtat vertical entre els combustibles superficials i les capçades dels arbres.

El sòl es troba cobert per una capa contínua de fullaraca compactada. Un bon exemple són els boscos densos de pi roig (*Pinus sylvestris*), o també d'altres pins amb acícules curtes <5 cm).

Quantitat de combustible: 10-12 t/ha. de matèria seca.

Comportament del foc: S'hi desenvolupen incendis de baixa intensitat, amb flames curtes i velocitats de front de foc lentes. Únicament amb condicions ambientals molt negatives (humitats relatives molt baixes, vents forts i altes temperatures) el seu comportament pot esdevenir perillós.



5. Resultats estadístics de les mesures fetes després de l'aplicació del tractament

5.1 Resultats de l'evolució de la cobertura de les espècies presents a la zona d'estudi

En primer lloc es presenta el contrast basat amb un test t-Student, observant si hi ha diferència significativa ($\alpha=0.05$) entre la cobertura mitjana "abans" i la cobertura mitjana "després" per a cadascuna de les espècies vegetals.

A continuació, es contrasta amb una ANOVA si hi ha o no diferència significativa ($\alpha=0.05$) en la mitjana de la diferència de cobertura "abans - després" entre les 4 càrregues ramaderes.

Cistus albidus

Estadísticos para una muestra

Prueba para una muestra

	Valor de prueba = 0					
	t	Gl	Sig. (bilateral)	Diferencia de medias	95% Intervalo de confianza para la diferencia	
					Inferior	Superior
C.a.COB_dif	4,870	15	,000	106,6875	59,996	153,379

ANOVA

C.a.COB_dif

	Suma de cuadrados	Gl	Media cuadrática	F	Sig.
Inter-grupos	40317,313	3	13439,104	2,154	,147
Intra-grupos	74854,125	12	6237,844		
Total	115171,438	15			

Comparaciones múltiples

Variable dependiente: C.a.COB_dif

(I) Càrrega ramadera	(J) Càrrega ramadera	Diferencia de medias (I-J)	Error típico	Sig.	Intervalo de confianza al 95%	
					Límite inferior	Límite superior
Control	Baixa	106,7500	55,8473	,274	-59,055	272,555
	Mitjana	110,1250	55,8473	,251	-55,680	275,930
	Alta	126,8750	55,8473	,159	-38,930	292,680
Baixa	Control	-106,7500	55,8473	,274	-272,555	59,055
	Mitjana	3,3750	55,8473	1,000	-162,430	169,180
	Alta	20,1250	55,8473	,983	-145,680	185,930
Mitjana	Control	-110,1250	55,8473	,251	-275,930	55,680
	Baixa	-3,3750	55,8473	1,000	-169,180	162,430
	Alta	16,7500	55,8473	,990	-149,055	182,555
Alta	Control	-126,8750	55,8473	,159	-292,680	38,930
	Baixa	-20,1250	55,8473	,983	-185,930	145,680
	Mitjana	-16,7500	55,8473	,990	-182,555	149,055

HSD de Tukey

C.a.COB_dif

HSD de Tukey

Càrrega ramadera	N	Subconjunto para alfa = .05
		1
Alta	4	65,750
Mitjana	4	82,500
Baixa	4	85,875
Control	4	192,625
Sig.		,159

Se muestran las medias para los grupos en los subconjuntos homogéneos.
a Usa el tamaño muestral de la media armónica = 4,000.

Cistus monspeliensis

Prueba para una muestra

	Valor de prueba = 0				95% Intervalo de confianza para la diferencia	
	t	Gl	Sig. (bilateral)	Diferencia de medias	Inferior	Superior
C.m.COB_dif	2,772	15	,014	59,2813	13,706	104,857

ANOVA

C.m.COB_dif

	Suma de cuadrados	Gl	Media cuadrática	F	Sig.
Inter-grupos	35667,797	3	11889,266	1,926	,179
Intra-grupos	74060,688	12	6171,724		
Total	109728,484	15			

Comparaciones múltiples

Variable dependiente: C.m.COB_dif

HSD de Tukey

(I) Càrrega ramadera	(J) Càrrega ramadera	Diferencia de medias (I-J)	Error típico	Sig.	Intervalo de confianza al 95%	
					Límite inferior	Límite superior
Control	Baixa	-30,0000	55,5505	,947	-194,924	134,924
	Mitjana	79,6250	55,5505	,504	-85,299	244,549
	Alta	74,2500	55,5505	,559	-90,674	239,174
Baixa	Control	30,0000	55,5505	,947	-134,924	194,924
	Mitjana	109,6250	55,5505	,251	-55,299	274,549
	Alta	104,2500	55,5505	,288	-60,674	269,174
Mitjana	Control	-79,6250	55,5505	,504	-244,549	85,299
	Baixa	-109,6250	55,5505	,251	-274,549	55,299
	Alta	-5,3750	55,5505	1,000	-170,299	159,549
Alta	Control	-74,2500	55,5505	,559	-239,174	90,674
	Baixa	-104,2500	55,5505	,288	-269,174	60,674
	Mitjana	5,3750	55,5505	1,000	-159,549	170,299

C.m.COB_dif

HSD de Tukey

Càrrega ramadera	N	Subconjunto para alfa = .05
		1
Mitjana	4	10,625
Alta	4	16,000
Control	4	90,250
Baixa	4	120,250
Sig.		,251

Se muestran las medias para los grupos en los subconjuntos homogéneos.

a Usa el tamaño muestral de la media armónica = 4,000.

Lavandula stoechas

Prueba para una muestra

	Valor de prueba = 0					
	t	Gl	Sig. (bilateral)	Diferencia de medias	95% Intervalo de confianza para la diferencia	
					Inferior	Superior
L.s.COB_dif	-2,989	14	,010	-14,4333	-24,791	-4,076

ANOVA

L.s.COB_dif

	Suma de cuadrados	Gl	Media cuadrática	F	Sig.
Inter-grupos	286,329	3	95,443	,228	,875
Intra-grupos	4611,104	11	419,191		
Total	4897,433	14			

Comparaciones múltiples

Variable dependiente: L.s.COB_dif
HSD de Tukey

(I) Càrrega ramadera	(J) Càrrega ramadera	Diferencia de medias (I-J)	Error típico	Sig.	Intervalo de confianza al 95%	
					Límite inferior	Límite superior
Control	Baixa	-1,5833	15,6374	1,000	-48,645	45,478
	Mitjana	-2,6250	14,4774	,998	-46,195	40,945
	Alta	8,2500	14,4774	,939	-35,320	51,820
Baixa	Control	1,5833	15,6374	1,000	-45,478	48,645
	Mitjana	-1,0417	15,6374	1,000	-48,103	46,020
	Alta	9,8333	15,6374	,921	-37,228	56,895
Mitjana	Control	2,6250	14,4774	,998	-40,945	46,195
	Baixa	1,0417	15,6374	1,000	-46,020	48,103
	Alta	10,8750	14,4774	,874	-32,695	54,445
Alta	Control	-8,2500	14,4774	,939	-51,820	35,320
	Baixa	-9,8333	15,6374	,921	-56,895	37,228
	Mitjana	-10,8750	14,4774	,874	-54,445	32,695

L.s.COB_dif

HSD de Tukey

	N	Subconjunto para alfa = .05
Càrrega ramadera		1
Alta	4	-21,500
Control	4	-13,250
Baixa	3	-11,667
Mitjana	4	-10,625
Sig.		,886

Se muestran las medias para los grupos en los subconjuntos homogéneos.

a Usa el tamaño muestral de la media armónica = 3,692.

b Los tamaños de los grupos no son iguales. Se utilizará la media armónica de los tamaños de los grupos. Los niveles de error de tipo I no están garantizados.

Erica arborea

Estadísticos para una muestra

	N	Media	Desviación típ.	Error típ. de la media
E.a.COB_dif	8	22,000	76,2407	26,9552

Prueba para una muestra

	Valor de prueba = 0					
	t	Gl	Sig. (bilateral)	Diferencia de medias	95% Intervalo de confianza para la diferencia	
					Inferior	Superior
E.a.COB_dif	,816	7	,441	22,0000	-41,739	85,739

Advertencia

No se han realizado las pruebas post hoc para E.a.COB_dif porque al menos un grupo tiene menos de dos casos.

ANOVA

E.a.COB_dif

	Suma de cuadrados	Gl	Media cuadrática	F	Sig.
Inter-grupos	14759,500	3	4919,833	,759	,573
Intra-grupos	25929,000	4	6482,250		
Total	40688,500	7			

Erica scoparia

Prueba para una muestra

	Valor de prueba = 0					95% Intervalo de confianza para la diferencia	
	t	Gl	Sig. (bilateral)	Diferencia de medias	95% Intervalo de confianza para la diferencia		
					Inferior	Superior	
E.s.COB_dif	,164	5	,876	4,6667	-68,436	77,769	

Advertencia

No se han realizado las pruebas post hoc para E.s.COB_dif porque al menos un grupo tiene menos de dos casos.

ANOVA

E.s.COB_dif

	Suma de cuadrados	Gl	Media cuadrática	F	Sig.
Inter-grupos	8330,542	2	4165,271	,784	,532
Intra-grupos	15931,292	3	5310,431		
Total	24261,833	5			

Pinus pinaster

Estadísticos para una muestra

	N	Media	Desviación típ.	Error típ. de la media
P.p.COB_dif	4	18,625	24,2018	12,1009

Prueba para una muestra

	Valor de prueba = 0					95% Intervalo de confianza para la diferencia	
	t	Gl	Sig. (bilateral)	Diferencia de medias	95% Intervalo de confianza para la diferencia		
					Inferior	Superior	
P.p.COB_dif	1,539	3	,221	18,6250	-19,886	57,136	

Advertencia

No se han realizado las pruebas post hoc para P.p.COB_dif porque al menos un grupo tiene menos de dos casos.

ANOVA

P.p.COB_dif

	Suma de cuadrados	Gl	Media cuadrática	F	Sig.
Inter-grupos	1716,688	2	858,344	21,194	,152
Intra-grupos	40,500	1	40,500		
Total	1757,188	3			

Brachypodium retusum

Prueba para una muestra

	Valor de prueba = 0					
	t	Gl	Sig. (bilateral)	Diferencia de medias	95% Intervalo de confianza para la diferencia	
					Inferior	Superior
B.r.COB_dif	-1,203	15	,248	-22,8438	-63,317	17,629

ANOVA

B.r.COB_dif

	Suma de cuadrados	Gl	Media cuadrática	F	Sig.
Inter-grupos	32891,422	3	10963,807	2,453	,114
Intra-grupos	53643,438	12	4470,286		
Total	86534,859	15			

Comparaciones múltiples

Variable dependiente: B.r.COB_dif
HSD de Tukey

(I) Càrrega ramadera	(J) Càrrega ramadera	Diferencia de medias (I-J)	Error típico	Sig.	Intervalo de confianza al 95%	
					Límite inferior	Límite superior
Control	Baixa	-105,7500	47,2773	,168	-246,112	34,612
	Mitjana	-103,0000	47,2773	,184	-243,362	37,362
	Alta	-33,8750	47,2773	,889	-174,237	106,487
Baixa	Control	105,7500	47,2773	,168	-34,612	246,112

Mitjana	Mitjana	2,7500	47,2773	1,000	-137,612	143,112
	Alta	71,8750	47,2773	,456	-68,487	212,237
	Control	103,0000	47,2773	,184	-37,362	243,362
	Baixa	-2,7500	47,2773	1,000	-143,112	137,612
Alta	Alta	69,1250	47,2773	,488	-71,237	209,487
	Control	33,8750	47,2773	,889	-106,487	174,237
	Baixa	-71,8750	47,2773	,456	-212,237	68,487
	Mitjana	-69,1250	47,2773	,488	-209,487	71,237

Fullaraca:

Prueba para una muestra

	Valor de prueba = 0					
	t	Gl	Sig. (bilateral)	Diferencia de medias	95% Intervalo de confianza para la diferencia	
					Inferior	Superior
Full.COB_dif	1,343	13	,202	46,3929	-28,229	121,014

ANOVA

Full.COB_dif

	Suma de cuadrados	Gl	Media cuadrática	F	Sig.
Inter-grupos	103288,652	3	34429,551	3,024	,080
Intra-grupos	113852,938	10	11385,294		
Total	217141,589	13			

Comparaciones múltiples

Variable dependiente: Full.COB_dif
HSD de Tukey

(I) Càrrega ramadera	(J) Càrrega ramadera	Diferencia de medias (I-J)	Error típico	Sig.	Intervalo de confianza al 95%	
					Límite inferior	Límite superior
Control	Baixa	22,7500	75,4496	,990	-208,077	253,577
	Mitjana	-194,7500	92,4065	,215	-477,454	87,954
	Alta	-139,3750	75,4496	,308	-370,202	91,452
Baixa	Control	-22,7500	75,4496	,990	-253,577	208,077
	Mitjana	-217,5000	92,4065	,150	-500,204	65,204
	Alta	-162,1250	75,4496	,203	-392,952	68,702
Mitjana	Control	194,7500	92,4065	,215	-87,954	477,454
	Baixa	217,5000	92,4065	,150	-65,204	500,204
	Alta	55,3750	92,4065	,930	-227,329	338,079
Alta	Control	139,3750	75,4496	,308	-91,452	370,202
	Baixa	162,1250	75,4496	,203	-68,702	392,952
	Mitjana	-55,3750	92,4065	,930	-338,079	227,329

Full.COB_dif

HSD de Tukey

	N	Subconjunto para alfa = .05
Càrrega ramadera		1
Baixa	4	-37,500
Control	4	-14,750
Alta	4	124,625
Mitjana	2	180,000
Sig.		,107

Se muestran las medias para los grupos en los subconjuntos homogéneos.

a Usa el tamaño muestral de la media armónica = 3,200.

b Los tamaños de los grupos no son iguales. Se utilizará la media armónica de los tamaños de los grupos. Los niveles de error de tipo I no están garantizados.

Sòl descobert:

Estadísticos para una muestra

	N	Media	Desviación típ.	Error típ. de la media
Desc.COB_dif	16	-183,000	106,1694	26,5423

Prueba para una muestra

	Valor de prueba = 0					
	t	Gl	Sig. (bilateral)	Diferencia de medias	95% Intervalo de confianza para la diferencia	
					Inferior	Superior
Desc.COB_dif	-6,895	15	,000	-183,0000	-239,574	-126,426

ANOVA

Desc.COB_dif

	Suma de cuadrados	gl	Media cuadrática	F	Sig.
Inter-grupos	51834,125	3	17278,042	1,768	,207
Intra-grupos	117244,875	12	9770,406		
Total	169079,000	15			

(I) Càrrega ramadera	(J) Càrrega ramadera	Diferencia de medias (I-J)	Error típico	Sig.	Intervalo de confianza al 95%	
					Límite inferior	Límite superior
Control	Baixa	40,6250	69,8942	,936	-166,884	248,134
	Mitjana	137,0000	69,8942	,256	-70,509	344,509
	Alta	-4,6250	69,8942	1,000	-212,134	202,884
Baixa	Control	-40,6250	69,8942	,936	-248,134	166,884
	Mitjana	96,3750	69,8942	,535	-111,134	303,884
	Alta	-45,2500	69,8942	,914	-252,759	162,259
Mitjana	Control	-137,0000	69,8942	,256	-344,509	70,509
	Baixa	-96,3750	69,8942	,535	-303,884	111,134
	Alta	-141,6250	69,8942	,232	-349,134	65,884
Alta	Control	4,6250	69,8942	1,000	-202,884	212,134
	Baixa	45,2500	69,8942	,914	-162,259	252,759
	Mitjana	141,6250	69,8942	,232	-65,884	349,134

Comparaciones múltiples

Variable dependiente: Desc.COB_dif
HSD de Tukey

Desc.COB_dif

HSD de Tukey

Càrrega ramadera	N	Subconjunto para alfa = .05
		1
Mitjana	4	-276,750
Baixa	4	-180,375
Control	4	-139,750
Alta	4	-135,125
Sig.		,232

Se muestran las medias para los grupos en los subconjuntos homogéneos.
a Usa el tamaño muestral de la media armónica = 4,000.

5.2 Resultats de l'evolució de l'abundància de les espècies presents a la zona d'estudi.

Cistus albidus

Prueba para una muestra

	Valor de prueba = 0					
	T	gl	Sig. (bilateral)	Diferencia de medias	95% Intervalo de confianza para la diferencia	
					Inferior	Superior
C.a.N_dif	1,716	15	,107	1,7813	-,431	3,993

C.a.N_dif

HSD de Tukey

Càrrega ramadera	N	Subconjunto para alfa = .05
		1
Alta	4	-,875
Baixa	4	1,625
Control	4	3,000
Mitjana	4	3,375
Sig.		,510

Se muestran las medias para los grupos en los subconjuntos homogéneos.
 a Usa el tamaño muestral de la media armónica = 4,000.

Cistus monspeliensis

Prueba para una muestra

	Valor de prueba = 0					
	t	gl	Sig. (bilateral)	Diferencia de medias	95% Intervalo de confianza para la diferencia	
					Inferior	Superior
C.m.N_dif	1,002	15	,332	,6875	-,775	2,150

ANOVA

C.m.N_dif

	Suma de cuadrados	gl	Media cuadrática	F	Sig.
Inter-grupos	12,313	3	4,104	,489	,696
Intra-grupos	100,625	12	8,385		
Total	112,938	15			

C.m.N_dif

HSD de Tukey

Càrrega ramadera	N	Subconjunto para alfa = .05
		1
Baixa	4	-,250
Alta	4	,375
Control	4	,500
Mitjana	4	2,125
Sig.		,662

Se muestran las medias para los grupos en los subconjuntos homogéneos.
 a Usa el tamaño muestral de la media armónica = 4,000.

Lavandula Stoechas

PROVA T

Prueba para una muestra

	Valor de prueba = 0				95% Intervalo de confianza para la diferencia	
	t	gl	Sig. (bilateral)	Diferencia de medias	Inferior	Superior
L.s.N_dif	,537	14	,599	,9333	-2,792	4,658

ANOVA

L.s.N_dif

	Suma de cuadrados	gl	Media cuadrática	F	Sig.
Inter-grupos	143,246	3	47,749	1,071	,401
Intra-grupos	490,188	11	44,563		
Total	633,433	14			

L.s.N_dif

HSD de Tukey

	N	Subconjunto para alfa = .05
		1
Càrrega ramadera		
Alta	4	-1,625
Control	4	-,500
Baixa	3	-,500
Mitjana	4	6,000
Sig.		,442

Se muestran las medias para los grupos en los subconjuntos homogéneos.

a Usa el tamaño muestral de la media armónica = 3,692.

b Los tamaños de los grupos no son iguales. Se utilizará la media armónica de los tamaños de los grupos. Los niveles de error de tipo I no están garantizados.

Erica arborea

PROVA T

Prueba para una muestra

	Valor de prueba = 0				95% Intervalo de confianza para la diferencia	
	t	gl	Sig. (bilateral)	Diferencia de medias	Inferior	Superior
E.a.N_dif	1,317	7	,229	,5625	-,448	1,573

ANOVA

Advertencia

No se han realizado las pruebas post hoc para E.a.N_dif porque al menos un grupo tiene menos de dos casos.

ANOVA

E.a.N dif

	Suma de cuadrados	gl	Media cuadrática	F	Sig.
Inter-grupos	5,552	3	1,851	1,586	,325
Intra-grupos	4,667	4	1,167		
Total	10,219	7			

Erica scoparia

PROVA T

Prueba para una muestra

	Valor de prueba = 0					
	t	gl	Sig. (bilateral)	Diferencia de medias	95% Intervalo de confianza para la diferencia	
					Inferior	Superior
E.s.N_dif	1,936	5	,111	,5000	-,164	1,164

ANOVA

Advertencia

No se han realizado las pruebas post hoc para E.s.N_dif porque al menos un grupo tiene menos de dos casos.

ANOVA

E.s.N dif

	Suma de cuadrados	gl	Media cuadrática	F	Sig.
Inter-grupos	,375	2	,188	,346	,732
Intra-grupos	1,625	3	,542		
Total	2,000	5			

Pinus pinaster

PROVA T

Prueba para una muestra

	Valor de prueba = 0					
	t	gl	Sig. (bilateral)	Diferencia de medias	95% Intervalo de confianza para la diferencia	
					Inferior	Superior
P.p.N_dif	1,000	3	,391	,6250	-1,364	2,614

ANOVA

Advertencia

No se han realizado las pruebas post hoc para P.p.N_dif porque al menos un grupo tiene menos de dos casos.

ANOVA

P.p.N_dif

	Suma de cuadrados	gl	Media cuadrática	F	Sig.
Inter-grupos	4,688	2	2,344	.	.
Intra-grupos	,000	1	,000		
Total	4,688	3			

-Brachypodium retusum

PROVA T

Prueba para una muestra

	Valor de prueba = 0					
	T	gl	Sig. (bilateral)	Diferencia de medias	95% Intervalo de confianza para la diferencia	
					Inferior	Superior
B.r._dif	-2,876	15	,012	-2,2813	-3,972	-,591

ANOVA

B.r._dif

	Suma de cuadrados	Gl	Media cuadrática	F	Sig.
Inter-grupos	81,047	3	27,016	4,635	,022
Intra-grupos	69,938	12	5,828		
Total	150,984	15			

Comparaciones múltiples

Variable dependiente: B.r._dif

HSD de Tukey

(I) Càrrega ramadera	(J) Càrrega ramadera	Diferencia de medias (I-J)	Error típico	Sig.	Intervalo de confianza al 95%	
					Límite inferior	Límite superior
Control	Baixa	-,3750	1,7071	,996	-5,443	4,693
	Mitjana	-4,1250	1,7071	,127	-9,193	,943
	Alta	2,1250	1,7071	,612	-2,943	7,193
Baixa	Control	,3750	1,7071	,996	-4,693	5,443
	Mitjana	-3,7500	1,7071	,179	-8,818	1,318
	Alta	2,5000	1,7071	,487	-2,568	7,568
Mitjana	Control	4,1250	1,7071	,127	-,943	9,193
	Baixa	3,7500	1,7071	,179	-1,318	8,818
	Alta	6,2500(*)	1,7071	,015	1,182	11,318
Alta	Control	-2,1250	1,7071	,612	-7,193	2,943
	Baixa	-2,5000	1,7071	,487	-7,568	2,568
	Mitjana	-6,2500(*)	1,7071	,015	-11,318	-1,182

* La diferencia entre las medias es significativa al nivel .05.

B.r._dif

HSD de Tukey

Càrrega ramadera	N	Subconjunto para alfa = .05	
		1	2
Alta	4	-5,000	
Control	4	-2,875	-2,875
Baixa	4	-2,500	-2,500
Mitjana	4		1,250
Sig.		,487	,127

Se muestran las medias para los grupos en los subconjuntos homogéneos.

a Usa el tamaño muestral de la media armónica = 4,000.

-Fullaraca:

PROVA T

Prueba para una muestra

	Valor de prueba = 0				95% Intervalo de confianza para la diferencia	
	t	gl	Sig. (bilateral)	Diferencia de medias	Inferior	Superior
Full.N_dif	2,031	13	,063	2,3571	-,150	4,865

ANOVA

Comparaciones múltiples

Variable dependiente: Full.N_dif

(I) Càrrega ramadera	(J) Càrrega ramadera	Diferencia de medias (I-J)	Error típico	Sig.	Intervalo de confianza al 95%	
					Límite inferior	Límite superior
Control	Baixa	2,3750	2,4038	,759	-4,979	9,729
	Mitjana	-7,2500	2,9440	,127	-16,257	1,757
	Alta	-1,7500	2,4038	,884	-9,104	5,604
Baixa	Control	-2,3750	2,4038	,759	-9,729	4,979
	Mitjana	-9,6250(*)	2,9440	,036	-18,632	-,618
	Alta	-4,1250	2,4038	,365	-11,479	3,229
Mitjana	Control	7,2500	2,9440	,127	-1,757	16,257
	Baixa	9,6250(*)	2,9440	,036	,618	18,632
	Alta	5,5000	2,9440	,300	-3,507	14,507
Alta	Control	1,7500	2,4038	,884	-5,604	9,104
	Baixa	4,1250	2,4038	,365	-3,229	11,479
	Mitjana	-5,5000	2,9440	,300	-14,507	3,507

HSD de Tukey

- La diferencia entre las medias es significativa al nivel .05.

Full.N_dif

HSD de Tukey

Càrrega ramadera	N	Subconjunto para alfa = .05	
		1	2
Baixa	4	-,875	
Control	4	1,500	1,500
Alta	4	3,250	3,250
Mitjana	2		8,750
Sig.		,454	,088

Se muestran las medias para los grupos en los subconjuntos homogéneos.

- a Usa el tamaño muestral de la media armónica = 3,200.
- b Los tamaños de los grupos no son iguales. Se utilizará la media armónica de los tamaños de los grupos. Los niveles de error de tipo I no están garantizados.

- Sòl descobert:

PROVA T

Prueba para una muestra

	Valor de prueba = 0				
	t	Gl	Sig. (bilateral)	Diferencia de medias	95% Intervalo de confianza para la diferencia
					Inferior Superior
Desc.N_dif	-6,833	15	,000	-5,2188	-6,847 -3,591

ANOVA

Desc.N_dif

	Suma de cuadrados	gl	Media cuadrática	F	Sig.
Inter.-grupos	26,047	3	8,682	,914	,463
Intra-grupos	113,938	12	9,495		
Total	139,984	15			

Desc.N_dif

HSD de Tukey

	N	Subconjunto para alfa = .05
Càrrega ramadera		1
Alta	4	-6,750
Mitjana	4	-5,750
Baixa	4	-5,125
Control	4	-3,250
Sig.		,411

Se muestran las medias para los grupos en los subconjuntos homogéneos.

- a Usa el tamaño muestral de la media armónica = 4,000.

5.3 Resultats de l'evolució del fitovolum de les espècies presents a la zona d'estudi

-*Cistus albidus*:

One-Sample Test

	Test Value = 0					
	t	df	Sig. (2-tailed)	Mean Difference	95% Confidence Interval of the Difference	
					Lower	Upper
C.a. (Fv_16)	1,870	14	,082	101228,860 00	14846,151 3	217303,87 13

ANOVA

C.a. (Fv_16)

	Sum of Squares	df	Mean Square	F	Sig.
Between Groups	283249772 137,934	3	94416590712, 645	3,130	,070
Within Groups	331825904 795,122	11	30165991345, 011		
Total	615075676 933,056	14			

Multiple Comparisons

Dependent Variable: C.a. (Fv_16)
Tukey HSD

(I) Càrrega ramadera	(J) Càrrega ramadera	Mean Difference (I-J)	Std. Error	Sig.	95% Confidence Interval	
					Lower Bound	Upper Bound
Control	Baixa	-3918,62500	122812,84 816	1,000	-373529,7655	365692,5155
	Mitjana	-360882,333 33	132653,03 722	,081	-760107,9935	38343,3268
	Alta	72807,4750 0	122812,84 816	,932	-442418,6155	296803,6655
Baixa	Control	3918,62500	122812,84 816	1,000	-365692,5155	373529,7655
	Mitjana	356963,708 33	132653,03 722	,084	-756189,3685	42261,9518
	Alta	68888,8500 0	122812,84 816	,942	-438499,9905	300722,2905
Mitjana	Control	360882,333	132653,03	,081	-38343,3268	760107,9935

Alta		33	722			
	Baixa	356963,708	132653,03	,084	-42261,9518	756189,3685
		33	722			
	Alta	288074,858	132653,03	,191	-111150,8018	687300,5185
		33	722			
	Control	72807,4750	122812,84	,932	-296803,6655	442418,6155
		0	816			
	Baixa	68888,8500	122812,84	,942	-300722,2905	438499,9905
		0	816			
	Mitjana	-	132653,03	,191	-687300,5185	111150,8018
	288074,858	722				
	33					

C.a. (Fv_16)

Tukey HSD

Càrrega ramadera	N	Subset for alpha = .05
		1
Control	4	8592,1000
Baixa	4	12510,725 0
Alta	4	81399,575 0
Mitjana	3	369474,43 33
Sig.		,068

Means for groups in homogeneous subsets are displayed.

a Uses Harmonic Mean Sample Size = 3,692.

b The group sizes are unequal. The harmonic mean of the group sizes is used. Type I error levels are not guaranteed.

-Cistus monspeliensis:

One-Sample Test

	Test Value = 0					
	t	df	Sig. (2-tailed)	Mean Difference	95% Confidence Interval of the Difference	
					Lower	Upper
C.m. (Fv_16)	2,367	15	,032	141909,181 25	14143,797 5	269674,56 50

ANOVA

C.m. (Fv_16)

	Sum of Squares	df	Mean Square	F	Sig.
--	----------------	----	-------------	---	------

Bloc 11. Annex

Between Groups	518663768 300,977	3	17288792276 6,992	6,036	,010
Within Groups	343694110 931,568	12	28641175910, 964		
Total	862357879 232,544	15			

Multiple Comparisons

Dependent Variable: C.m. (Fv_16)
Tukey HSD

(I) Càrrega ramadera	(J) Càrrega ramadera	Mean Difference (I-J)	Std. Error	Sig.	95% Confidence Interval	
					Lower Bound	Upper Bound
Control	Baixa	-283,22500	119668,65 904	1,000	-355567,6410	355001,1910
	Mitjana	433092,900 00(*)	119668,65 904	,016	-788377,3160	-77808,4840
	Alta	65285,0000 0	119668,65 904	,946	-420569,4160	289999,4160
Baixa	Control	283,22500	119668,65 904	1,000	-355001,1910	355567,6410
	Mitjana	432809,675 00(*)	119668,65 904	,016	-788094,0910	-77525,2590
	Alta	65001,7750 0	119668,65 904	,947	-420286,1910	290282,6410
Mitjana	Control	433092,900 00(*)	119668,65 904	,016	77808,4840	788377,3160
	Baixa	432809,675 00(*)	119668,65 904	,016	77525,2590	788094,0910
	Alta	367807,900 00(*)	119668,65 904	,042	12523,4840	723092,3160
Alta	Control	65285,0000 0	119668,65 904	,946	-289999,4160	420569,4160
	Baixa	65001,7750 0	119668,65 904	,947	-290282,6410	420286,1910
	Mitjana	367807,900 00(*)	119668,65 904	,042	-723092,3160	-12523,4840

* The mean difference is significant at the .05 level.

C.m. (Fv_16)

Tukey HSD

Càrrega ramadera	N	Subset for alpha = .05	
		1	2
Control	4	17243,900 0	
Baixa	4	17527,125 0	
Alta	4	82528,900 0	

Mitjana	4		450336,80 00
Sig.		,946	1,000

Means for groups in homogeneous subsets are displayed.

a Uses Harmonic Mean Sample Size = 4,000.

-Lavandula stoechas:

One-Sample Test

	Test Value = 0					
	t	df	Sig. (2-tailed)	Mean Difference	95% Confidence Interval of the Difference	
					Lower	Upper
L.s. (Fv_16)	1,912	11	,082	121518,475 00	18384,547 1	261421,49 71

ANOVA

L.s. (Fv_16)

	Sum of Squares	df	Mean Square	F	Sig.
Between Groups	277527262 115,542	3	92509087371, 847	2,893	,102
Within Groups	255800135 723,480	8	31975016965, 435		
Total	533327397 839,022	11			

Multiple Comparisons

Dependent Variable: L.s. (Fv_16)

Tukey HSD

(I) Càrrega ramadera	(J) Càrrega ramadera	Mean Difference (I-J)	Std. Error	Sig.	95% Confidence Interval	
					Lower Bound	Upper Bound
Control	Baixa	-33513,9500	178815,59 486	,997	-606144,4287	539116,5287
	Mitjana	-351480,975 00	154858,84 774	,185	-847393,5165	144431,5665
	Alta	-44042,5250 0	154858,84 774	,991	-539955,0665	451870,0165
Baixa	Control	33513,9500 0	178815,59 486	,997	-539116,5287	606144,4287
	Mitjana	-317967,025	154858,84 774	,246	-813879,5665	177945,5165

Bloc 11. Annex

		00				
	Alta	-	154858,84			
		10528,5750	774	1,000	-506441,1165	485383,9665
Mitjana	Control	00	154858,84			
		351480,975	774	,185	-144431,5665	847393,5165
	Baixa	00	154858,84			
		317967,025	774	,246	-177945,5165	813879,5665
	Alta	00	126441,71			
Alta	Control	00	971	,148	-97472,4446	712349,3446
		44042,5250	154858,84			
		0	774	,991	-451870,0165	539955,0665
	Baixa	0	154858,84			
		10528,5750	774	1,000	-485383,9665	506441,1165
	Mitjana	-	126441,71			
		307438,450	971	,148	-712349,3446	97472,4446
		00				

L.s. (Fv_16)

Tukey HSD

		Subset for alpha = .05
Càrrega ramadera	N	1
Control		-
	2	15908,350
Baixa		0
	2	17605,600
Alta		0
	4	28134,175
Mitjana		0
	4	335572,62
Sig.		50
		,185

Means for groups in homogeneous subsets are displayed.

a Uses Harmonic Mean Sample Size = 2,667.

b The group sizes are unequal. The harmonic mean of the group sizes is used. Type I error levels are not guaranteed.

5.4 Resultats de l'evolució del diàmetre de la base del tronc de les espècies presents a la zona d'estudi.

Cistus albidus:

One-Sample Test

	Test Value = 0					
	T	df	Sig. (2-tailed)	Mean Difference	95% Confidence Interval of the Difference	
					Lower	Upper
C.a. (D_16)	,877	14	,395	,22936	-,3315	,7902

-Cistus albidus

ANOVA

	Sum of Squares	df	Mean Square	F	Sig.
Between Groups	3,166	3	1,055	1,037	,414
Within Groups	11,193	11	1,018		
Total	14,358	14			

C.a. (D_16)

Dependent Variable: C.a. (D_16)
Tukey HSD

(I) Càrrega ramadera	(J) Càrrega ramadera	Mean Difference (I-J)	Std. Error	Sig.	95% Confidence Interval	
					Lower Bound	Upper Bound
Control	Baixa	-,02309	,71327	1,000	-2,1697	2,1235
	Mitjana	-1,11372	,77042	,499	-3,4323	1,2049
	Alta	,10663	,71327	,999	-2,0400	2,2532
Baixa	Control	,02309	,71327	1,000	-2,1235	2,1697
	Mitjana	-1,09063	,77042	,516	-3,4092	1,2280
	Alta	,12972	,71327	,998	-2,0169	2,2763
Mitjana	Control	1,11372	,77042	,499	-1,2049	3,4323
	Baixa	1,09063	,77042	,516	-1,2280	3,4092
	Alta	1,22035	,77042	,426	-1,0983	3,5390
Alta	Control	-,10663	,71327	,999	-2,2532	2,0400
	Baixa	-,12972	,71327	,998	-2,2763	2,0169
	Mitjana	-1,22035	,77042	,426	-3,5390	1,0983

C.a. (D_16)

Tukey HSD

	N	Subset for alpha = .05
Càrrega ramadera		1
Alta	4	-,0777
Control	4	,0289
Baixa	4	,0520
Mitjana	3	1,1426
Sig.		,396

Means for groups in homogeneous subsets are displayed.

a Uses Harmonic Mean Sample Size = 3,692.

b The group sizes are unequal. The harmonic mean of the group sizes is used. Type I error levels are not guaranteed.

Cistus monspeliensis:

One-Sample Test

	Test Value = 0					
	t	df	Sig. (2-tailed)	Mean Difference	95% Confidence Interval of the Difference	
					Lower	Upper
C.m. (D_16)	1,155	15	,266	,31597	-,2672	,8992

ANOVA

C.m. (D_16)

	Sum of Squares	df	Mean Square	F	Sig.
Between Groups	2,338	3	,779	,598	,628
Within Groups	15,631	12	1,303		
Total	17,969	15			

Multiple Comparisons

Dependent Variable: C.m. (D_16)

(I) Càrrega ramadera	(J) Càrrega ramadera	Mean Difference (I-J)	Std. Error	Sig.	95% Confidence Interval	
					Lower Bound	Upper Bound
Control	Baixa	-,04072	,80702	1,000	-2,4367	2,3552
	Mitjana	-,93340	,80702	,664	-3,3294	1,4626
	Alta	-,13175	,80702	,998	-2,5277	2,2642
Baixa	Control	,04072	,80702	1,000	-2,3552	2,4367
	Mitjana	-,89268	,80702	,693	-3,2886	1,5033
	Alta	-,09103	,80702	,999	-2,4870	2,3049
Mitjana	Control	,93340	,80702	,664	-1,4626	3,3294
	Baixa	,89268	,80702	,693	-1,5033	3,2886
	Alta	,80165	,80702	,756	-1,5943	3,1976
Alta	Control	,13175	,80702	,998	-2,2642	2,5277
	Baixa	,09103	,80702	,999	-2,3049	2,4870
	Mitjana	-,80165	,80702	,756	-3,1976	1,5943

Tukey HSD

C.m. (D_16)

Tukey HSD

Càrrega ramadera	N	Subset for alpha = .05
		1
Control	4	,0395
Baixa	4	,0802
Alta	4	,1712
Mitjana	4	,9729
Sig.		,664

Means for groups in homogeneous subsets are displayed.
a. Uses Harmonic Mean Sample Size = 4,000.

Lavandula stoechas:

One-Sample Test

	Test Value = 0					
	t	df	Sig. (2-tailed)	Mean Difference	95% Confidence Interval of the Difference	
					Lower	Upper
L.s. (D_16)	-,625	11	,545	-,05235	-,2368	,1321

ANOVA

L.s. (D_16)

	Sum of Squares	df	Mean Square	F	Sig.
Between Groups	,175	3	,058	,621	,621
Within Groups	,752	8	,094		
Total	,927	11			

Multiple Comparisons

Dependent Variable: L.s. (D_16)

(I) Càrrega ramadera	(J) Càrrega ramadera	Mean Difference (I-J)	Std. Error	Sig.	95% Confidence Interval	
					Lower Bound	Upper Bound
Control	Baixa	-,13317	,30664	,971	-1,1151	,8488
	Mitjana	,21292	,26556	,852	-,6375	1,0633
	Alta	,09323	,26556	,984	-,7572	,9436
Baixa	Control	,13317	,30664	,971	-,8488	1,1151
	Mitjana	,34608	,26556	,586	-,5043	1,1965
	Alta	,22639	,26556	,828	-,6240	1,0768
Mitjana	Control	-,21292	,26556	,852	-1,0633	,6375
	Baixa	-,34608	,26556	,586	-1,1965	,5043
	Alta	-,11969	,21683	,943	-,8141	,5747
Alta	Control	-,09323	,26556	,984	-,9436	,7572
	Baixa	-,22639	,26556	,828	-1,0768	,6240
	Mitjana	,11969	,21683	,943	-,5747	,8141

Tukey HSD

L.s. (D_16)

Tukey HSD

Càrrega ramadera	N	Subset for alpha = .05
		1
Mitjana	4	-,1854
Alta	4	-,0657
Control	2	,0275
Baixa	2	,1607
Sig.		,586

Means for groups in homogeneous subsets are displayed.

a Uses Harmonic Mean Sample Size = 2,667.

b The group sizes are unequal. The harmonic mean of the group sizes is used. Type I error levels are not guaranteed.

6. Mapes de la zona de Cap de Creus